

บทที่ 2

เอกสารและงานวิจัยที่เกี่ยวข้อง

2.1 การดูดซับ (Adsorption) (จุพร วิทยาคุณ และนุรักษ์ กฤษดาธุรักษ์, 2547)

การดูดซับ เป็นความสามารถของตัวดูดซับ (Adsorbent) ในการดึงโมเลกุลของตัวถูกดูดซับ (Adsorbate) ที่อยู่ในสภาพแก๊สหรือของเหลวให้มาเกาะติดบนพื้นผิวของสารดูดซับ ซึ่งกระบวนการดูดซับนี้สามารถเกิดขึ้นระหว่างพื้นผิว 2 วัสดุภาค เช่น แก๊สกับของเหลว แก๊สกับของแข็ง ของเหลวกับของเหลว หรือ ของเหลวกับของแข็ง โดยกระบวนการดูดซับแบ่งได้เป็น 2 ประเภท คือการดูดซับทางกายภาพ (Physical adsorption) และการดูดซับทางเคมี (Chemical adsorption)

2.1.1 การดูดซับทางกายภาพ (Physical adsorption) (สราช ศรีคุณ, 2550)

การดูดซับแบบนี้เป็นการดูดซับที่อ่อนและไม่มีพันธะเคมีที่เกิดขึ้นทั้งดูคระหว่างอะตอมพิเศษของตัวดูดซับกับตัวถูกดูดซับ คือ แรงวนเครื่องวालส์ มีค่าความร้อนในการดูดซับต่ำน้อยกว่า 25 กิโลจูลต่ำ/mol การดูดซับเป็นแบบหลายชั้น (Multilayers) แต่ละชั้นของโมเลกุลจะติดอยู่กับชั้น โมเลกุลที่ถูกดูดซับก่อนหน้านี้ โดยทั่วไปการดูดซับเกิดขึ้นได้ต่ออุณหภูมิต่ำ

2.1.2 การดูดซับทางเคมี (Chemical adsorption)

การดูดซับแบบนี้เป็นการดูดซับที่เข้มแข็ง เป็นการเกิดพันธะเคมีระหว่างตัวดูดซับกับตัวถูกดูดซับซึ่งเกี่ยวข้องกับการจัดตัวใหม่ของความหนาแน่นของอิเล็กตรอนที่เกิดจากการสร้างพันธะระหว่างโมเลกุลตัวถูกดูดซับและพื้นผิวของตัวดูดซับ ความร้อนของการดูดซับมีค่าประมาณ 50 - 800 กิโลจูลต่ำ/mol การดูดซับแบบนี้เป็นแบบเฉพาะเจาะจง เป็นการดูดซับแบบชั้นเดียว (Monolayers) โดยทั่วไปการดูดซับเกิดขึ้นได้ต่ออุณหภูมิสูง

2.2 สีย้อม (Dyes) (อุทัย พิพิธเมือง, 2555)

สีย้อมเป็นสารสำคัญที่ทำหน้าที่ติดสีไปกับผ้าหรือตัวที่นำมาเย็บ โดยจะมีความคงทนต่อการซักล้าง ทานแอด รวมตัวกับน้ำได้ดีอย่างมากแก่การกำจัด โดยการดูดติดกับเนื้อผ้าของสีย้อม มีแรงยึดเหนี่ยวทางเคมีเกี่ยวข้อง 4 ชนิด ที่ทำให้สีดูดติดกับเส้นใยได้แก่ พันธะไฮโดรเจน (Hydrogen bond) และวนเครื่องวัลส์ (Van der Waals forces) แรงไออ่อน (Ionic forces) และพันธะ

โคแอลเอนด์ (Covalent bond) โดยแรงบีบเหนี่ยวระหว่างโนมเลกุลของสีข้อมกับโนมเลกุลของเส้นใยอย่างน้อยต้องประกอบไปด้วยแรง 2 ชนิดขึ้นไปหรือมากกว่า อาจจะเกิดแรงทั้ง 4 ชนิดผสมผสานกัน รูปร่างและขนาดของสีข้อมมีผลต่อการบีบติด เช่น ถ้าโนมเลกุลของสีข้อมยิ่งเล็กและยาว สีข้อมก็จะผ่านช่องว่างเข้าไปในเส้นใยได้มากขึ้น จะทำให้การติดสีดีขึ้นหรือถ้าโนมเลกุลของสีข้อมมีลักษณะแบบและมีความกว้างมากกว่าความยาวมาก จะทำให้เกิดการติดสีมีความคงทนสูงมากขึ้น

2.2.1 การจำแนกสีข้อม

การจำแนกสีข้อมที่นิยมกันมากที่สุด คือ การจำแนกสีข้อมตามการนำไปใช้ เพราะจะต้องมีความคงทนการซัก มีความคงทนต่อแสงและยังต้องมีความคงทนต่อความร้อน ซึ่งในกลุ่มโรงงานอุตสาหกรรมได้จำแนกสีข้อมตามวิธีใช้ออกเป็น 11 ประเภทโดยที่สีข้อมแต่ละประเภทจะมีสูตรโครงสร้างทางเคมี สมบัติของสีข้อม ตลอดจนวิธีใช้ที่แตกต่างกันไป สีข้อมสามารถจำแนกตามการนำไปใช้งานได้ดังนี้

1. สีข้อมแอสิด (Acid dye) สีชนิดนี้เกิดจากสารประกอบอินทรีย์มีประจุลบ ละลายน้ำได้ ส่วนใหญ่เป็นเกลือของกรดกำมะถัน กล.ไกในการติดสีเกิดเป็นพันธะไอออนิก สีข้อมแอซิดบางตัวสามารถนำไปใช้ข้อมเส้นใยเซลลูโลสบาริสุทธิ์ได้ เช่น ปอ ป่าน ในลอน ขนแกะ ไหมและอะคริลิกได้ดี สีข้อมแอซิดไม่ทนเหงื่อ

2. สีไดเรกท์ (Direct dye) หรืออาจเรียกว่าสีข้อมฝ้าย สีชนิดนี้ส่วนใหญ่เป็นสารประกอบอะไซที่มีน้ำหนักโนมเลกุลสูง มีหมู่กรดซัลโฟนิกที่ทำให้ตัวสีสามารถละลายน้ำได้มีประจุลบ นิยมใช้ข้อมเส้นใยเซลลูโลส สีจะติดเส้นใยได้โดยโนมเลกุลของสีจะจัดเรียงตัวแทรกอยู่ในระหว่างโนมเลกุลเส้นใย และยึดจับกันด้วยพันธะไฮโดรเจน สีไม่ทนต่อการซักน้ำ ตกน้ำ ทนแสง

3. สีเบสิก (Basic dye) สีข้อมชนิดนี้เป็นเกลือของเบสอินทรีย์ (Organic base) ให้ประจุบวก ละลายน้ำได้ นิยมใช้ข้อมเส้นใยโปรดีน ในลอนและไอกริลิกได้ดี ในขณะที่สีข้อมโนมเลกุลของสีส่วนที่มีประจุบวกจะยึดจับกับโนมเลกุลของเส้นใย เป็นสีที่ติดทน ไม่ควรใช้ข้อมเส้นใยธรรมชาติ เพราะจะไม่ทนการซักและแสง

4. สีดิสเพอร์ส (Disperse dye) เป็นสีที่ไม่ละลายน้ำแต่มีสมบัติกระหายได้ดี สามารถย้อมเส้นใยอะซิเตท เส้นใยโพลีเอสเทอร์ ในลอนและไอกริลิกได้ดี การย้อมจะใช้สารพาเพื่อช่วยเร่งอัตราการดูดซึมของสีเข้าไปในเส้นใยหรือข้อมโดยใช้อุณหภูมิและความดันสูง สีดิสเพอร์สเป็นสีที่ทนแสงและการซักฟอกก่อนข้างดี สีดิสเพอร์สแบ่งออกได้เป็น 2 กลุ่ม โดยพิจารณาตามลักษณะในตัวสีข้อมได้แก่ สีข้อมอะโซ (Azo dye) และสีข้อมแอมิโนแอนตราควินอยน (Amino antraquinone) ซึ่งทั้ง 2 กลุ่ม ประกอบด้วยอนุพันธ์ของเอทราโนลาเมินหรืออนุพันธ์ที่คล้ายคลึงกัน

5. สีรีแอกทีฟ (Reactive dye) เป็นสีที่ละลายน้ำได้ มีประจุลบ เมื่ออยู่ในน้ำจะมีสมบัติเป็นค่าง สีข้อมชนิดนี้เหมาะกับการข้อมเส้นใยเซลลูโลสมากที่สุด โดยเฉพาะของสีจะยึดจับกับหมู่ไฮดรอกไซด์ (OH^-) ของเซลลูโลสและเชื่อมโยงติดกันด้วยพันธะโโคเวเลนต์ในสภาวะที่เป็นค่าง กล้ายเป็นสารประกอบเคมีชนิดใหม่กับเซลลูโลส สีรีแอกทีฟมี 2 กลุ่ม คือ กลุ่มที่ข้อมติดที่อุณหภูมิสูง $70\text{-}75^\circ\text{C}$ และกลุ่มที่ข้อมติดที่อุณหภูมิปกติ สีรีแอกทีฟให้สีที่สดใส ทุกสีติดทนในทุกสภาวะ

6. สีอะโซอิก (Azoic dye) สีข้อมชนิดนี้ไม่สามารถละลายน้ำได้ การที่สีจะก่อรูปเป็นเส้นใยได้ต้องข้อมด้วยสารประกอบฟีโนอลซึ่งละลายน้ำได้ก่อน ซึ่งเป็นกระบวนการการทำให้รวมตัวเป็นสี (Coupling) แล้วข้อมทันด้วยสารไครอะโซคอมโพแตนท์จะเกิดเป็นสีได้ สีอะโซอิกใช้ข้อมเส้นใยได้ทั้งเซลลูโลส ในลอน หรืออะซิเตท สีอะโซอิกเป็นสีที่ทนต่อการซัก แต่ไม่ทนต่อการขัดถู

7. สีแเว็ต (Vat dye) เป็นสีที่ไม่สามารถละลายน้ำได้ เมื่อทำการข้อมต้องเตรียมน้ำข้อมให้สีแเว็ตละลายน้ำโดยให้ทำปฏิกิริยากับสารรีดิวช์และโซเดียมไฮดรอกไซด์ สีแเว็ตจะถูกรีดิวช์ให้กล้ายเป็นเกลือจึงเข้มขึ้นไปในเส้นใยได้ เมื่อนำผ้าไปปั่นในอากาศสีในเส้นใยจะถูกออกชีไคลส์เป็นสีแเว็ต สีข้อมชนิดนี้มีส่วนประกอบทางเคมีที่สำคัญอยู่ 2 ชนิด คือ สีอินดิก (Indigoid) และสีแอนตราควินอยด์ (Antraquinoid)

8. สีมอร์เดนท์หรือโกรน (Mordant or Chrome dye) สีข้อมชนิดนี้ต้องใช้สารช่วยติดเข้าไปช่วยเพื่อให้เกิดการติดสีบนเส้นใย สารที่ช่วยติดที่ใช้คือ สารประกอบออกไซด์ของโลหะ เช่น โกรเมียม ดิบุก เหล็ก อะลูมิเนียม เป็นต้น สีมอร์เดนท์เป็นสีที่มีโมเลกุลใหญ่ซึ่งเกิดจากสีมอร์เดนท์หลายโมเลกุลจับกับโลหะแล้วละลายน้ำได้ซึ่งทำให้ข้อมได้ง่าย ซึ่งใช้ข้อมเส้นใยโปรดีนและเส้นใยพอลีเอทิลีนไดด์

9. สีอินเกรน เป็นสีที่ไม่ละลายน้ำ โดยจะเกิดเป็นคลอลอลอยด์หลังจากเกิดปฏิกิริยากับน้ำ สีข้อมชนิดนี้ใช้สำหรับข้อมฝ้าย

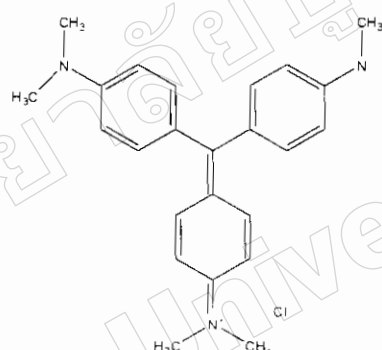
10. สีออกซิเดชัน (Oxidation dye) เป็นสีที่ละลายน้ำโดยจะเกิดเป็นคลอลอลอยด์หลังจากเกิดปฏิกิริยาในน้ำโดยสีจะติดแน่น อาศัยปฏิกิริยาการตกรตะกอนผลึกภายในเส้นใย ใช้สำหรับข้อมฝ้ายและขนสัตว์

11. สีซัลเฟอร์ (Sulfur dye) เป็นสีที่ไม่ละลายน้ำ เมื่อทำการข้อมต้องรีดิวช์สีเพื่อให้โมเลกุลอยู่ในสภาพที่ละลายน้ำได้ แต่สีซัลเฟอร์บางชนิดที่ผลิตออกมาจำหน่ายในรูปที่ถูกรีดิวช์จะละลาย

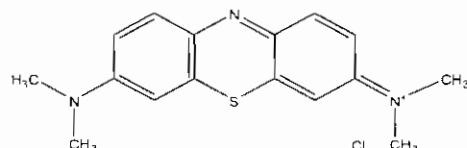
ในงานวิจัยนี้เลือกใช้สีข้อม 3 ชนิดคือ สีข้อมเมทิลไวโอลेटและเมทิลีนบลูซึ่งเป็นสีข้อมประเภทสีข้อมเบสิกและสีข้อมเมทิลօอเรนจ์เป็นสีข้อมประเภทสีข้อมแอสิด

2.2.2 สีย้อมเบสิก (อุทัย พิพัฒ์เมือง, 2555)

สีย้อมเบสิกเป็นเกลือของเบสอ닌ทรีฟ์ เมื่อละลายน้ำจะแตกตัวให้ไอออนบวกจึงเรียกว่า สีแคตไอออนิก (Cationic dyes) สามารถย้อมติดกับเส้นใยได้ โดยประจุบวกของสีจะจับกับประจุลบของเส้นใย ในงานวิจัยนี้เลือกใช้สีย้อมเมทิลไวโอลेट (Methyl violet) ในช่วงพีเอชที่มีการเปลี่ยนแปลงจากสีในกรดเป็นสีในเบสคือ 0.1 - 2.7 (เหลือง-ม่วง) และเมทิลีนบลู (Methylene blue) ในช่วงพีเอชที่มีการเปลี่ยนแปลงจากสีในกรดเป็นสีในเบสคือ 3 - 4.5 (เหลือง-ฟ้า) ซึ่งเป็นสีย้อมเบสิกที่เป็นอินดิเคเตอร์ โครงสร้างของสีย้อมเมทิลไวโอลेटและเมทิลีนบลู แสดงดังภาพที่ 2-1 และ 2-2



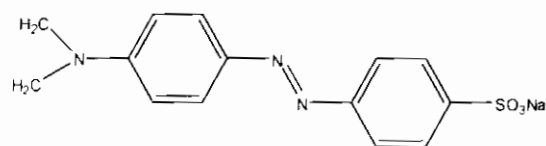
ภาพที่ 2-1 โครงสร้างสีย้อมเมทิลไวโอลेट ($C_{23}H_{26}N_3Cl$)



ภาพที่ 2-2 โครงสร้างสีย้อมเมทิลีนบลู ($C_{16}H_{18}N_3SCl$)

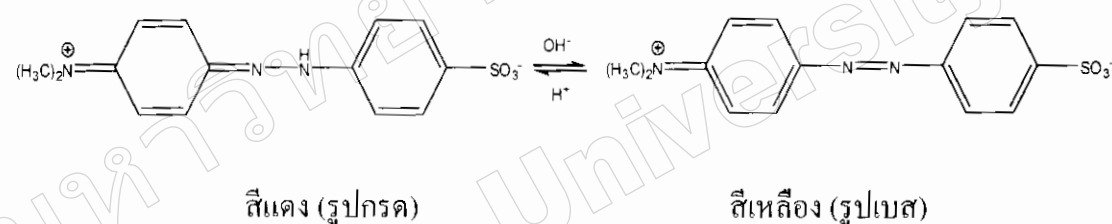
2.2.3 สีย้อมแอกซิด

สีย้อมแอกซิดเป็นเกลือ ใช้เดิมของกรดอินทรีฟ์ หรือกรดซัลโฟนิก สามารถละลายน้ำได้ดี และแตกตัวเป็นไอออนลบในน้ำ เมื่อใช้ในการย้อมสีจะจับกับไอออนบวกบนผิวของเส้นใย จึงใช้ย้อมสีเส้นใยจากธรรมชาติ สีย้อมเมทิลօอเรนจ์ เป็นเกลือของกรดซัลโฟนิกในวงแหวนแบบชีนซึ่งเปลี่ยนสีในช่วงพีเอชที่มีการเปลี่ยนแปลงจากสีในกรดเป็นสีในเบสคือ 3.1 - 4.4 (ชมพูแดง - เหลือง) โดยมีโครงสร้างแสดงดังภาพที่ 2-3



ภาพที่ 2-3 โครงสร้างของเมทิลออร์เจน (C₁₄H₁₄N₂NaO₃S)

เมทิลออร์เจนจะมีโครงสร้าง 2 แบบขึ้นกับความเป็นกรด-鹼ที่เพื่อเข้ากันกว่า 3.1 จะมีสีแดง หมูพิเพื่อสูงกว่า 4.4 มีสีเหลืองส้ม เมื่ออยู่ในสารละลายกรดเมทิลออร์เจนที่จะถูกเติมไฮโดรเจนอะตอมในตำแหน่งพันธะคู่ระหว่างไนโตรเจน ส่วนในสารละลายเบสจะสูญเสียไฮโดรเจนอะตอมในตำแหน่งดังกล่าวไป ทำให้มีสีแตกต่างกัน สามารถแสดงได้ดังภาพที่ 2-4



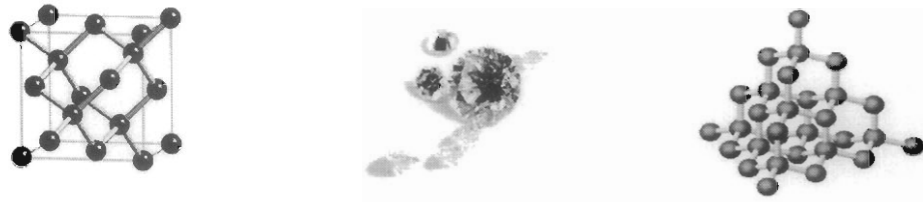
ภาพที่ 2-4 สีของเมทิลออร์เจนเมื่ออยู่ในรูปกรดและเบส (Yao, He, Xu, & Chen, 2011)

2.3 โครงสร้างของการอน (เจยฎา จันทร์พ. 2551)

การอน เป็นธาตุลำดับที่ 6 ในตารางธาตุ มีเลขอะตอมเท่ากับ 6 มีมวลโมเลกุลเท่ากับ 12 ซึ่งมีการจัดเรียงอิเล็กตรอนในอะตอมแบบ 1s² 2s² 2p² สามารถพบรดีในหลายรูปแบบโครงสร้าง และแบ่งออกเป็น 4 ชนิดหลัก ๆ โดยใช้มิติเข้ามาอธิบาย ดังนี้

2.3.1 โครงสร้างแบบสามมิติ

โครงสร้างแบบสามมิติ อะตอมของคาร์บอนทั้งหมดมีดึงเหนี่ยวกันด้วยพันธะโคเวเลนต์ (Covalent bond) อิเล็กตรอนจัดเรียงแบบ sp³ จึงทำให้โครงสร้างที่แข็งแรงที่สุดโดยทั่วไปพบในรูปของเพชร ซึ่งเป็นอัญมณีราคาแพง นอกจากเครื่องประดับนิยมนำไปทำเป็นหัวดัดและเจาะ แสดงดังภาพที่ 2-5



ภาพที่ 2-5 โครงสร้างของเพชร

(<http://fixedreference.org/2006-Wikipedia-CD-Selection/wp/d/Diamond.htm>)

2.3.2 โครงสร้างแบบสองมิติ

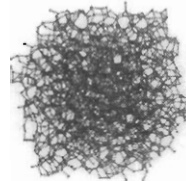
โครงสร้างแบบสองมิติ มีลักษณะเป็นระนาบวางชั้อนกัน ในระบบเดียวกันการ์บอนจะขึ้นเหนือกับการ์บอนอิกสารตัวด้วยพันธะ โคลเวเลนต์ ส่วนอิกหนึ่งพันธะที่เหลือของการ์บอนจะยึดกับระบบระหว่างชั้นเข้าด้วยกันด้วยแรงที่ต่ำกว่าพันธะ โคลเวเลนต์ ซึ่งก็คือแรงแวนเดอร์วัลส์ (Van der Waals force) ดังนั้นระหว่างชั้นจะมีการยึดเกาะกันอย่างหลวม ๆ ส่งผลให้แต่ละชั้นสามารถเลื่อนไหไปมาได้ โครงสร้างแบบนี้พบในโครงสร้างของเกรไฟต์ (Graphite) แสดงดัง

ภาพที่ 2-6



ภาพที่ 2-6 โครงสร้างของเกรไฟต์ (<http://www.ponglearning.com/?p=1473>)

ขี้เ涎หรือถ่านจากการเผาไหมมีโครงสร้างคล้ายเกรไฟต์ แต่เรียงตัวไม่เป็นระเบียบ (Amorphous) และแสดงดังภาพที่ 2-7

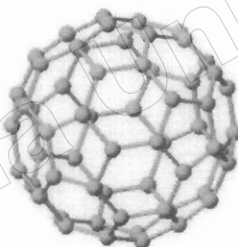


ภาพที่ 2-7 โครงสร้างของแกร์ไฟต์ที่เรียงตัวอย่างไม่เป็นระเบียบ

(http://commons.wikimedia.org/wiki/File:Amorphous_Carbon.png)

2.3.3 โครงสร้างแบบคุณย์มิติ

มีโครงสร้างเป็นก้อนเล็กซึ่งส่วนใหญ่ที่พบเป็นคาร์บอนักติน (C_{60}) โดยแต่ละโมเลกุลประกอบด้วยอะตอมของคาร์บอนจำนวนหกหมื่น ๖๐ อะตอม ยึดเหนี่ยวกันด้วยพันธะโคเวเลนต์ได้เป็นรูปทรงกลมคล้าย ๆ ลูกบอลขนาดจิ๋วจนอาจถือได้ว่าเป็นจุดศูนย์มิติ เรียกว่า พูลเลอร์นแสดงดังภาพที่ 2-8

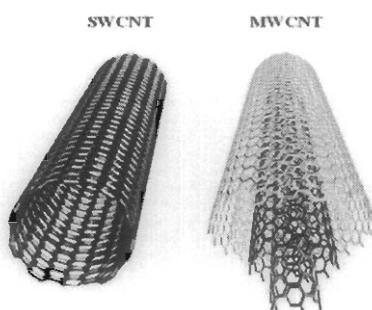


ภาพที่ 2-8 โครงสร้างจำลองของการ์บอน hakelip (C_{co})

(<http://www.nanotech-now.com/nanotube-buckyball-sites.htm>)

2.3.4 โครงสร้างแผนหนึ่งมิติ

โครงสร้างที่มีลักษณะเป็นแผ่นม้วนตัวเป็นท่อขนาดเล็กผ่านศูนย์กลางน้ำอย่างจนทำให้คุณเมื่อเป็นเส้นยาวในแนวหน้ามิติ ซึ่งเรียกว่า ท่อนาโนคาร์บอน (Carbon nanotube) แสดงดังภาพที่ 2-9

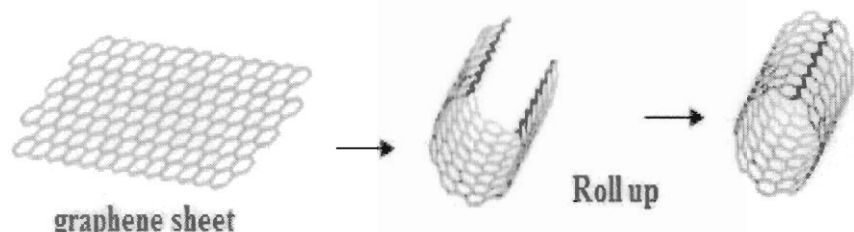


ภาพที่ 2-9 โครงสร้างของท่อนาโนคาร์บอน

(<http://www.intechopen.com/books/carbon-nanotubes-polymer-nanocomposites/polymer-carbon-nanotube-nanocomposites>)

2.4 ท่อนาโนคาร์บอน (เจยถัว จันทร์พา, 2551)

ท่อนาโนคาร์บอนประกอบด้วยอะตอมคาร์บอนต่อกันเป็นท่อกลวงยาวและมีเส้นผ่าศูนย์กลางอยู่ในระดับนาโนเมตร ในแต่ละหน่วยย่อยของผนังท่อนาโนคาร์บอนประกอบด้วยวงแหวนรูปหกเหลี่ยมที่มีการบอน 6 อะตอม ในปีค.ศ.1991 นักฟิสิกส์ชาวญี่ปุ่นชื่อ ดร.ซึมิโอะ อิจิมา (Sumio Iijima) ได้เผยแพร่ผลงานพิมพ์เกี่ยวกับการค้นพบท่อนาโนคาร์บอนแบบผนังหลายชั้นและได้ค้นพบและศึกษาสมบัติของท่อนาโนคาร์บอนแบบผนังชั้นเดียว ซึ่งพบว่ามีสมบัติที่ดีหลายประการและสามารถนำมาใช้ประโยชน์ได้อย่างกว้างขวาง ท่อนาโนคาร์บอนมีลักษณะเหมือนกับแผ่นเกรฟไฟต์ที่ม้วนเป็นท่อ แสดงดังภาพที่ 2-10 มีขนาดเส้นผ่านศูนย์กลางประมาณ 1 นาโนเมตรจนถึงหลายสิบนาโนเมตร โดยที่อะตอมคาร์บอนเหล่านี้เชื่อมต่อ กันแบบ sp^2 และมีโครงสร้างเป็นทรงกระบอก (Cylindrical shape) ลักษณะต่างกับฟูลเลอร์น ที่มีโครงสร้างเป็นทรงกลม (Spherical shape) ต่อมาได้มีการศึกษากันอย่างแพร่หลาย โดยเฉพาะท่อนาโนคาร์บอนแบบผนังชั้นเดียว



ภาพที่ 2-10 ลักษณะการบันทวนตัวของแผ่นเกรฟไฟต์เป็นของท่อนาโนคาร์บอน

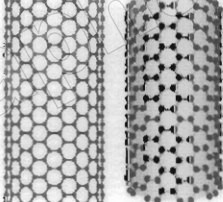
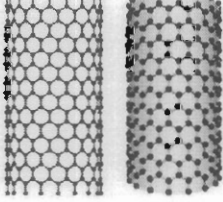
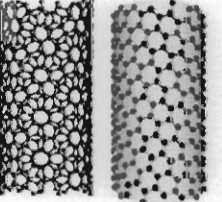
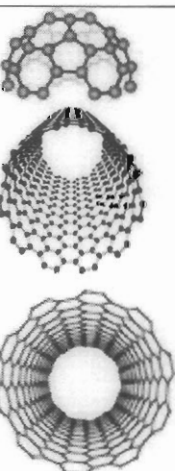
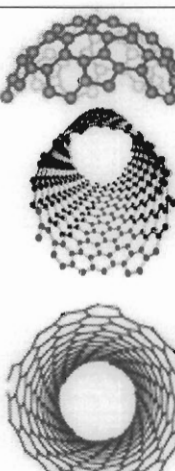
(<http://www.nanotech-now.com/nanotube-buckyball-sites.htm>)

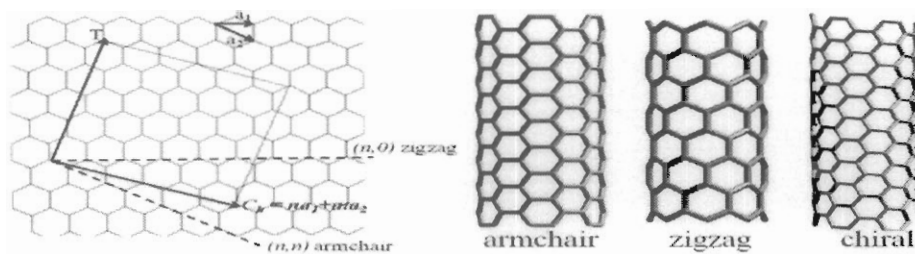
2.4.1 ชนิดของท่อนาโนคาร์บอน

ท่อนาโนคาร์บอนสามารถสามารถตั้งเคราะห์ได้ 2 ลักษณะ ดังนี้

1. ท่อนาโนคาร์บอนแบบผนังชั้นเดียว (Single-walled carbon nanotubes, SWCNTs) โครงสร้างท่อนาโนคาร์บอนแบบผนังชั้นเดียว มีลักษณะเป็นท่อกลวง ซึ่งเหมือนกับการม้วนแผ่นแกะไฟฟ์ ให้เป็นท่อทรงกระบอก เส้นผ่านศูนย์กลางนั้นมีขนาด 0.4-2 นาโนเมตร และมีความเป็นผลักสูง หรือมีโครงสร้างที่เป็นระเบียบ โดยโครงสร้างของท่อนาโนคาร์บอนแบบผนังชั้นเดียวนั้น ยังสามารถแบ่งออกได้อีก 3 ชนิดหลัก ๆ แสดงดังตารางที่ 2-1 โดยแต่ละรูปแบบของโครงสร้างของท่อนาโนคาร์บอนเกิดจากลักษณะการม้วนด้วยมุนที่ต่างกันและการระบุ Chiral indices ที่แตกต่างกัน แสดงดังภาพที่ 2-11

ตาราง 2-1 รูปแบบโครงสร้างท่อนาโนคาร์บอนแบบผนังชั้นเดียว

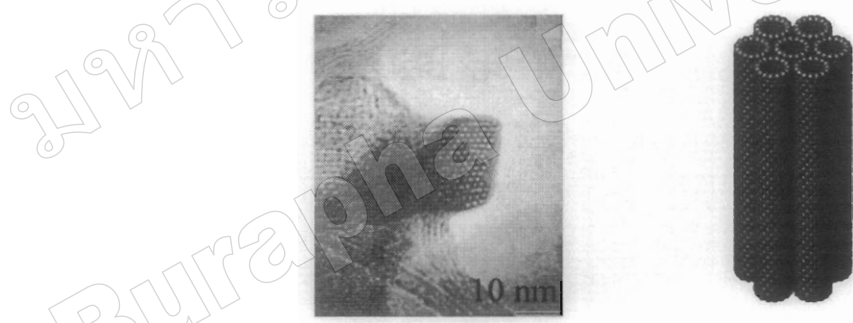
TYPE	Armchair	Zig-zag	Chiral
Chiral indices, (n, m)	(n, n)	(n, 0)	(n, m)
Side view perspective all atoms visible			
View down tube perspective			



ภาพที่ 2-11 ลักษณะการม้วนด้วยมุนที่ต่างกันก็จะได้คล้ายตามผนังท่อที่ต่างกัน

(<http://www.intechopen.com/books/carbon-nanotubes-polymer-nanocomposites/polymer-carbon-nanotube-nanocomposites>)

ส่วนใหญ่การสังเคราะห์ท่อนาโนคาร์บอนแบบผนังชั้นเดียว เตรียมจากวิธีการตกสะสมไอเคมี (Chemical vapor deposition; CVD) จะได้ท่อนาโนคาร์บอนแบบผนังชั้นเดียวแบบเป็นมัด ของท่อนาโนคาร์บอน แสดงดังภาพที่ 2-12



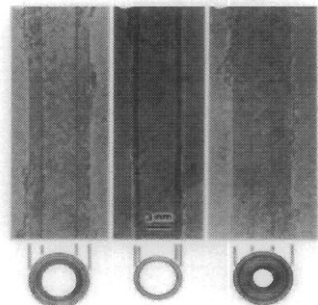
ภาพที่ 2-12 ตัวอย่างภาพตัดขวางของท่อนาโนคาร์บอนที่รวมกันเป็นมัดของท่อนาโนคาร์บอน

(Bundle of carbon nanotubes)

(<http://pubs.acs.org/subscribe/archive/ci/30/i10/html/10fischF2.html>)

2. ท่อนาโนคาร์บอนแบบผนังหลายชั้น (Multi-walled carbon nanotubes: MWCNTs)

คือท่อนาโนคาร์บอนที่มีผนังช้อนกันอยู่หลายชั้น ซึ่งผนังท่อมีลักษณะซ้อนกันคล้ายกับการซ้อนท่อเล็กในท่อใหญ่โดยมีจุดศูนย์กลางภาคตัดขวางของท่อเป็นจุดเดียวกัน โดยที่แต่ละชั้นอยู่ห่างกันประมาณ 0.34 ถึง 0.36 นาโนเมตร เส้นผ่านศูนย์กลางภายในของท่อนาโนคาร์บอนผนังหลายชั้น มีขนาดประมาณ 1.5 ถึง 15 นาโนเมตร ส่วนเส้นผ่านศูนย์กลางภายนอกมีขนาดประมาณ 2.5 ถึง 30 นาโนเมตร แสดงดังภาพที่ 2-13



ภาพที่ 2-13 ภาพตัวอย่างของท่อนาโนคาร์บอนแบบผนังหลายชั้น

(http://idol.union.edu/malekis/ESC24/KoskywebModules/sa_nano.htm

2.5 สมบัติของท่อนาโนคาร์บอน (เจษฎาจันทร์พง, 2551)

สมบัติทางกายภาพ

ท่อนาโนคาร์บอนเป็นโมเลกุลที่มีรูปร่างคล้ายหอกถุงของโครงสร้างร่างแห่ค่าข่ายขนาดเล็ก เส้นผ่านศูนย์กลางของห่อ อยู่ในระดับนาโนเมตร ประมาณ 1 ถึง 15 นาโนเมตรและมีความยาวเฉลี่วประมาณ 10 ไมโครเมตร ท่อนาโนคาร์บอนซึ่งเป็นวัสดุที่มีอัตราส่วนความขาวต่อเส้นผ่านศูนย์กลางหลายพันเท่า มีสมบัติที่แข็งแกร่งกว่าเหล็กกล้า แต่ในขณะเดียวกันก็มีความยืดหยุ่น และน้ำหนักเบาและมีค่าความหนาแน่น 1.33 - 1.40 กรัม/ลูกบาศก์เซนติเมตร ท่อนาโนคาร์บอนยังเป็นโมเลกุลของการรับอนพื่นพันที่ผิวมากถึง 1,250 ตารางเซนติเมตร/กรัม ซึ่งมากกว่าอ่อนก้มมันต์ถึงสองเท่าซึ่งเป็นสมบัติที่พิเศษของท่อนาโนคาร์บอน

2.6 จลนศาสตร์การดูดซับ (อุทัย พิพิธ์โพธิ์เมือง, 2555)

การศึกษาจลนศาสตร์ของการดูดซับสีเข้ม อาศัยแบบจำลองจลนศาสตร์ 3 แบบในการวิเคราะห์ข้อมูล ได้แก่ แบบจำลองจลนศาสตร์อันดับหนึ่งสมมือ (Pseudo-first-order-kinetic-model) และแบบจำลองจลนศาสตร์อันดับสองสมมือ (Pseudo-second-order-kinetic-model) ซึ่งเป็นแบบจำลองที่ใช้อธินายการดูดซับที่ผิวและแบบจำลองการแพร่ภายนอก (Intraparticle diffusion model) ซึ่งมีส่วนสำคัญในขั้นตอนการดูดซับและใช้ในการอธินายกลไกการเกิดปฏิกิริยาของการดูดซับสีเข้ม

2.6.1 แบบจำลองจลนศาสตร์ปฏิกริยาอันดับหนึ่งสมมูล

เป็นแบบจำลองที่แสดงความสัมพันธ์ระหว่างปริมาณของตัวถูกคุณชับที่บันผิวของตัวคุณชับ (q_t) กับ ระยะเวลา (t) ของการคุณชับใด ๆ ดังนี้

$$q_t = q_e (1 - e^{-k_1 t}) \quad (2-1)$$

โดยที่ k_1 คือ ค่าคงที่อัตราปฏิกริยาอันดับหนึ่งสมมูล (ต่อนาที)

q_e คือ ค่าการคุณชับของตัวคุณชับ ณ เวลาใด ๆ (มิลลิกรัมต่อกรัม)

q_t คือ ค่าการคุณชับของตัวคุณชับ ณ สมุด (มิลลิกรัมต่อกรัม)

เมื่อจัดสมการที่ (2-1) ให้อยู่ในรูปสมการเชิงเส้นตรงในรูปของการทิม จะได้

$$\ln(q_e - q_t) = \ln q_e - k_1 t \quad (2-2)$$

หรือเขียนในรูปของ \log ได้ดังนี้

$$\log(q_e - q_t) = \log q_e - \frac{k_1}{2.303} t \quad (2-3)$$

เมื่อเขียนกราฟระหว่าง $\log(q_e - q_t)$ กับ t จะได้ความชันของกราฟเท่ากับ $-\frac{k_1}{2.303}$ และค่าตัดแกน y เท่ากับ $\log q_e$

2.6.2 แบบจำลองจลนศาสตร์ปฏิกริยาอันดับสองสมมูล

เป็นแบบจำลองที่แสดงความสัมพันธ์ระหว่างปริมาณของตัวถูกคุณชับที่บันผิวของตัวคุณชับ (q_t) กับระยะเวลาของการคุณชับ (t) ดังนี้

$$\frac{t}{q_t} = \frac{1}{k_2 q_e^2} + \frac{1}{q_e} t \quad (2-4)$$

โดยที่ k_2 คือ ค่าคงที่อัตราปฏิกริยาอันดับสองสมมูล (กรัมนาทีต่อมิลลิกรัม)

เมื่อเขียนกราฟระหว่าง $\frac{1}{q_t}$ กับ t จะได้ความสัมพันธ์เชิงเส้นตรงที่มีความชันของกราฟเท่ากับ $\frac{1}{q_e}$ และค่าตัดแกน y เท่ากับ $\frac{1}{k_2 q_e^2}$

2.6.3 การแพร่ภายนอกภาค (สร้างสรรค์ ศรีคุณ 2550)

ผลงานศาสตร์การดูดซับนอกจากจะสอดคล้องกับแบบจำลองผลงานศาสตร์การดูดซับที่ผิวแล้ว อาจจะสอดคล้องกับการแพร่ภายนอกภาคด้วย ดังนั้นสมการการแพร่ภายนอกภาคจึงเป็นอีกสมการหนึ่งที่ถูกใช้ในการศึกษากลไกการดูดซับสีข้อมูล สมการการแพร่ภายนอกภาคของเวเบอร์ และมอร์ริส (Weber and Morris) สามารถเขียนอยู่ในรูปสมการเชิงเส้นได้ดังนี้

$$q_t = k_t t^{1/2} + C \quad (2-5)$$

โดยที่ k_t คือ ค่าคงที่อัตราการดูดซับเนื่องมาจากภายนอกภาค (มิลลิกรัมต่อกรัมต่อนาที^{1/2}) เมื่อเขียนกราฟระหว่าง q_t กับ $t^{1/2}$ จะได้กราฟเส้นตรงที่มีความชันเท่ากับ k_t และค่าตัดแกน y เท่ากับ C ซึ่งค่า C จะบอกถึงผลกระแทบที่เกิดจากความหนาของผิวรอยต่อ (Boundary thickness) ยิ่งค่า C มากผลกระแทบที่เกิดจากความหนาของผิวรอยต่อยิ่งมาก

2.7 ไอโซเทอร์มนของการดูดซับ

ไอโซเทอร์มนการดูดซับมีความสำคัญมากในการอธิบายโน้มเลกุลของตัวถูกดูดซับที่กระจายตัวอยู่ในสารละลายและจะอยู่บนพื้นผิวดองตัวดูดซับ เมื่อกระบวนการดูดซับเข้าสู่ภาวะสมดุล ดังนั้นรูปแบบในการศึกษาไอโซเทอร์มนการดูดซับที่นำมาใช้ในงานวิจัยครั้งนี้ ได้แก่ ไอโซเทอร์มนการดูดซับแบบແลงเมียร์ ไอโซเทอร์มนการดูดซับแบบพรุนดลิชและ ไอโซเทอร์มนการดูดซับแบบเทมคิน

2.7.1 ไอโซเทอร์มนการดูดซับแบบແลงเมียร์ (Langmuir adsorption isotherm) (Chen et al., 2010)

สมมติฐานพื้นฐานของแบบจำลองไอโซเทอร์มนการดูดซับแบบແลงเมียร์ คือ การดูดซับของโน้มเลกุลบนพื้นผิวดองตัวดูดซับเป็นแบบชั้นเดียว (Monolayer) โดยพื้นผิวดองตัวดูดซับจะประกอบไปด้วยแต่ละตำแหน่งที่ว่างที่สามารถดูดซับโน้มเลกุลของตัวถูกดูดซับได้เพียงหนึ่งโน้มเลกุล ดังแสดงในสมการต่อไปนี้

$$q_e = \frac{q_{\max} K_L C_e}{1 + K_L C_e} \quad (2-6)$$

โดยที่ q_e คือ ปริมาณของสารที่ถูกดูดซับต่อปริมาณของตัวดูดซับ หรือค่าการดูดซับที่สมดุล (มิลลิกรัมต่อกรัม)

q_{\max} คือ ปริมาณของสารอุดตันมากที่สุดที่เกิดขึ้นเพื่อสร้างแผ่นชั้นเดียว (Monolayer) ของตัวดูดซับ (มิลลิกรัมต่อลิตร)

K_L คือ ค่าคงที่สมดุลของการดูดซับ (ลิตรต่อมิลลิกรัม)

C_e คือ ความเข้มข้นของตัวอุดตันที่เหลือ ในสารละลายที่จุดสมดุล (มิลลิกรัมต่อลิตร) สามารถจัดสมการ (2-6) ให้อยู่ในรูปสมการเส้นตรงได้ดังนี้

$$\frac{C_e}{q_e} = \frac{1}{q_{\max} K_L} + \frac{C_e}{q_{\max}} \quad (2-7)$$

เมื่อเขียนกราฟระหว่างค่า $\frac{C_e}{q_e}$ กับ C_e จะได้กราฟเส้นตรงที่มีความชันเท่ากับ $\frac{1}{q_{\max}}$ และมีค่าตัดแกน y เท่ากับ $\frac{1}{q_{\max} K_L}$

นอกจากนี้ลักษณะสำคัญของการดูดซับของไอโซเทอร์มของแอลจิเมียร์สามารถแสดงได้ในรูปของ R_L หาก $R_L > 1$ หมายถึง unfavorable adsorption, $0 < R_L < 1$ หมายถึง favorable adsorption, $R_L = 0$ หมายถึง irreversible adsorption, $R_L = 1$ หมายถึง linear adsorption ค่า R_L แสดงได้ดังสมการ

$$R_L = \frac{1}{1 + K_L C_0} \quad (2-8)$$

โดยที่ C_0 คือ ความเข้มข้นเริ่มต้นสูงสุดของสีเยื่อ (มิลลิกรัมต่อลิตร)

K_L เป็นค่าคงที่ไอโซเทอร์มของแอลจิเมียร์ (ลิตรต่อมิลลิกรัม)

2.7.2 ไอโซเทอร์มการดูดซับแบบฟรุนเดลิช (Freundlich adsorption isotherm)

ไอโซเทอร์มการดูดซับแบบฟรุนเดลิช อยู่บนสมมติฐานที่ว่าการดูดซับเกิดบนพื้นผิวแบบวิธีพันธ์ (Heterogeneous surfaces) ความสามารถในการดูดซับเกี่ยวข้องกับความเข้มข้นของตัวอุดตัน สมการแสดงดังนี้

$$q_e = K_F C_e^{\frac{1}{n}} \quad (2-9)$$

โดยที่ q_e กือ ปริมาณของสารที่ถูกดูดซับต่อปริมาณของตัวดูดซับหรือค่าการดูดซับที่สมดุล (มิลลิกรัมต่อกิโลกรัม)

C_e กือ ความเข้มข้นของตัวถูกดูดซับที่เหลือในสารละลายที่จุดสมดุล (มิลลิกรัมต่อลิตร)

K_F กือ ค่าคงที่สัมพันธ์กับความสามารถในการดูดซับของตัวดูดซับ

n กือ ค่าคงที่สัมพันธ์กับพลังงานของการดูดซับ

ซึ่งสามารถแสดงสมการเชิงเส้นตรงในรูปดังนี้

$$\ln q_e = \ln K_F + \frac{1}{n} \ln C_e \quad (2-10)$$

เมื่อเขียนกราฟระหว่าง $\ln q_e$ กับ $\ln C_e$ จะเป็นเส้นตรงที่มีความชันเท่ากับ $\frac{1}{n}$ และค่าตัดแกน y เท่ากับ $\ln K_F$

2.7.3 ไฮโซเทอร์มการดูดซับแบบเทมคิน (Temkin adsorption isotherm)

ซึ่งถูกพัฒนาจากกระบวนการที่การเปลี่ยนแปลงของความร้อนในการดูดซับที่มีลักษณะเป็นเส้นตรง สามารถแสดงดังนี้ (Chen et al. (2010))

$$q_e = B_T \ln K_T + B_T \ln C_e \quad (2-11)$$

โดยที่ q_e กือ ปริมาณของสารที่ถูกดูดซับต่อปริมาณของตัวดูดซับ หรือค่าการดูดซับที่สมดุล (มิลลิกรัมต่อกิโลกรัม)

B_T กือ พารามิเตอร์ที่เกี่ยวข้องกับความร้อนของการดูดซับ

K_T กือ ค่าคงที่ของเทมคิน

T กือ อุณหภูมิสัมบูรณ์ (เคลวิน)

R กือค่าคงที่ของแก๊ส ($8.314 \text{ จูลต่อโมลต่อเคลวิน}$)

เมื่อเขียนกราฟระหว่างค่า q_e กับ $\ln C_e$ จะได้กราฟเส้นตรงที่มีความชันเท่ากับ B_T และค่าตัดแกน y เท่ากับ $B_T \ln K_T$

ข้อดีและข้อเสียของแต่ละ ไอโซเทอร์มทั้ง 3 รูปแบบแสดงในตารางที่ 2-2

ตารางที่ 2-2 การเปรียบเทียบ ไอโซเทอร์มนิคต่าง ๆ (จตุพร วิทยาคุณ และนุรักษ์ กฤณาธนุรักษ์, 2547)

ชนิด ไอโซเทอร์ม	ข้อดี	ข้อเสีย
ไอโซเทอร์มแบบແລງເມຍർ	เป็น ไอโซเทอร์มที่ดีที่สุด因为มีความแม่นยำมากกับตัวแปรเดียว	ไม่สนใจแรงกระทำระหว่างตัวถูกคุณสมบัติที่ซับซ้อนกับตัวถูกคุณสมบัติที่อื่นๆ
ไอโซเทอร์มแบบฟรุนคลิช	เหมาะสมกับ low coverage	ไม่สนใจภาวะภายในที่พื้นผิว
ไอโซเทอร์มแบบเทมคิน	มีการพิจารณาแรงกระทำระหว่างตัวถูกคุณสมบัติที่ซับซ้อนกับตัวถูกคุณสมบัติที่อื่นๆ	ไม่พิจารณาขั้นตอนตัวถูกคุณสมบัติที่ซับซ้อนจะมีการจัดเรียงตัวอย่างไร

2.8 อุณหพลศาสตร์ของการดูดซับ (อุทัย พิพัฒโน้ม. 2555)

เมื่อพิจารณาตามหลักอุณหพลศาสตร์ (Thermodynamics) กระบวนการของการดูดซับ เป็น การศึกษาที่พิจารณาการเปลี่ยนแปลงจากจุดเริ่มต้นไปยังจุดสิ้นสุด โดยทั่วไป จุดสิ้นสุดคือ จุดที่เกิดสมดุล และพบว่าเป็นกระบวนการที่ผันกลับได้มีทั้งการเคลื่อนที่ของตัวถูกดูดซับไปทางติดผิวของตัวถูกดูดซับและการเคลื่อนที่ของตัวถูกดูดซับออกจากผิวของตัวถูกดูดซับ โดยทั้งสองกระบวนการมีอัตราในการเคลื่อนที่เท่ากัน ดังนั้นจึงมีการเปลี่ยนแปลงพลังงานอิสระของ การดูดซับเท่ากับศูนย์ที่สภาวะสมดุล สมดุลของการดูดซับเป็นสมดุลเคมีประเทหนึ่งที่เกี่ยวข้อง กับการรวมกันระหว่างตัวถูกดูดซับและตัวถูกดูดซับเข้าเป็นเนื้อเดียวกันที่อุณหภูมิค่าหนึ่ง โดยตัวถูกดูดซับเคลื่อนที่เข้าไปทางติดกับผิวของตัวถูกดูดซับจนมีความเข้มข้นสมดุลกับความเข้มข้นของตัวถูกดูดซับที่ไม่ถูกดูดซับ ดังนั้นโดยทั่วไปพลังงานอิสระของระบบที่เกิดการดูดซับแล้วจึงต่ำกว่าพลังงาน พลังงานอิสระของตัวถูกดูดซับและตัวถูกดูดซับก่อนเกิดการดูดซับหรือการเปลี่ยนแปลงพลังงาน อิสระของกระบวนการดูดซับมีค่า $\Delta G < 0$

โดยทั่วไปก่อนเกิดการดูดซับ ตัวถูกดูดซับจะมีการเคลื่อนที่อย่างอิสระและอาจเกิดการ ชนกันระหว่างโมเลกุลตัวถูกดูดซับด้วยกันเอง นั่นหมายความว่าระบบจะเป็นระบบที่เข้าสู่ความไม่ เป็นระเบียบมากขึ้นทำให้มีค่าэнโทรปี (S) ของระบบก่อนการดูดซับมากขึ้น แต่เมื่อกระบวนการ การดูดซับเกิดขึ้น โมเลกุลของตัวถูกดูดซับก็จะเกิดการตรึงอยู่กันที่บนพื้นผิวของตัวถูกดูดซับ

นั่นหมายความว่าระบบจะเป็นระบบที่เข้าสู่ความเป็นระเบียบมากขึ้น ดังนั้นแนวโน้มของค่าเอนโทรปี (S) ของระบบหลังการคุณซับมีค่าลดลง เพราะฉะนั้นการเปลี่ยนแปลงเอนโทรปีของกระบวนการการคุณซับ มีค่า $\Delta S < 0$ ดังนั้นการเปลี่ยนแปลงเอนทาลปีของกระบวนการการคุณซับ นำไปสู่ค่า $\Delta H < 0$ ซึ่งหาได้จากความสัมพันธ์ระหว่างพารามิเตอร์ต่าง ๆ ดังแสดงในสมการ

$$\Delta G = \Delta H - T\Delta S \quad (2-12)$$

โดย ΔG และ ΔG° มีความสัมพันธ์ดังนี้

$$\Delta G = \Delta G^\circ + RT\ln Q \quad (2-13)$$

เมื่อ R ค่าคงที่ของแก๊ส ($8.314 \text{ จูลต่อโมลต่อเคลวิน}$)

T อุณหภูมิสัมบูรณ์ (เคลวิน)

ΔG° การเปลี่ยนแปลงพลังงานอิสระของปฏิกิริยาที่เกิดขึ้นภายใต้สภาวะมาตรฐาน

Q สัดส่วนของปฏิกิริยา (Reaction quotient) ได้จากการส่วนความเข้มข้นเริ่มต้นของสเปเชสต่าง ๆ และคงดังสมการ



$$Q = \frac{[C]_0^c [D]_0^d}{[A]_0^a [B]_0^b} \quad \text{และ} \quad K = \frac{[C]^c [D]^d}{[A]^a [B]^b}$$

เมื่อระบบเข้าสู่ภาวะสมดุล Q จะมีค่าคงที่เรียกว่าค่าคงที่สมดุล (K) หรือ $Q = K$ และ $\Delta G = 0$ เมื่อแทนค่าในสมการจะได้

$$0 = \Delta G^\circ + RT\ln K \quad (2-14)$$

$$\Delta G^\circ = -RT\ln K \quad (2-15)$$

ดังนั้น

$$RT\ln K = T\Delta S^\circ - \Delta H^\circ \quad (2-16)$$

$$\ln K = \frac{\Delta S^\circ}{R} - \frac{\Delta H^\circ}{RT} \quad (2-17)$$

พารามิเตอร์ต่าง ๆ ทางอุณหพลศาสตร์ของกระบวนการการดูดซับคำนวนโดยอาศัยพื้นฐานของค่าคงที่สมดุลที่ได้จากแบบจำลองไอโซเทอร์ม เมื่อเขียนกราฟความสัมพันธ์ระหว่าง $\ln K$ กับ $1/T (K^{-1})$ ได้กราฟเส้นตรงที่มีความชันเท่ากับ $-\Delta H^\circ/R$ และค่าตัดแกน y เท่ากับ $\Delta S^\circ/R$ (Yao, He, Xu & Cheng. 2011) ดังนั้นสามารถหาค่า ΔG° ที่อุณหภูมิต่าง ๆ ΔS° และ ΔH° นอกจากนี้ค่า ΔH° นำมาใช้คำนวณค่าของปฏิกิริยาหรือการดูดซับและ ΔG° คำนวณการเกิดปฏิกิริยาหรือการดูดซับ ได้ดังนี้

ΔH° เป็นบวก เป็นกระบวนการการดูดซับแบบดูดความร้อนที่สภาวะมาตรฐาน

ΔH° เป็นลบ เป็นกระบวนการการดูดซับแบบยกความร้อนที่สภาวะมาตรฐาน

ΔG° เป็นลบ เป็นกระบวนการการดูดซับที่เกิดขึ้นได้เองที่สภาวะมาตรฐาน

ΔG° เป็นบวก เป็นกระบวนการการดูดซับที่เกิดขึ้นเองไม่ได้ที่สภาวะมาตรฐาน

2.9 งานวิจัยที่เกี่ยวข้อง

Yao et al. (2011) ศึกษาการดูดซับสีข้อมเมทิลօอเรนจ์ในสารละลายน้ำในภาชนะแบบผนังหดลายชั้นที่เตรียมได้จากวิธีการตกตะสมาน ไอเคมีโดยใช้คาร์บอนจากแก๊สอะเซทีลีนที่เกิดการแตกออกและอนุภาคนาโนของเหล็กถูกฝังเข้าไปใน mesoporous silica ซึ่งเตรียมได้จากการผสมระหว่างสารละลายไอร์อ่อนในเตอร์ดและเตตราเอทอกซิไซเดนในระบบ sol-gel ทำหน้าที่เป็นตัวเร่งปฏิกิริยา ปัจจัยที่มีผลต่อการดูดซับ ได้แก่ ระยะเวลาสัมผัส อุณหภูมิ พื้นที่และความเข้มข้นเริ่มต้นของสีข้อมศึกษาในรายละเอียด การศึกษาสมดุลของการดูดซับสีข้อมโดยเปรียบเทียบกับแบบจำลองของไอโซเทอร์มของสมดุลการดูดซับ 3 รูปแบบ ได้แก่ ไอโซเทอร์มของแลงเมียร์ ฟรุนคลิชและเทมคิน ปรากฏว่าสอดคล้องกับแบบจำลองไอโซเทอร์มของแลงเมียร์และการศึกษาจนศาสตร์ของการดูดซับสีข้อมโดยเปรียบเทียบกับแบบจำลองของจลนศาสตร์ปฎิกิริยา อันดับหนึ่งเสมอและปฏิกิริยาอันดับสองเสมอ เพื่อศึกษาอันดับของจลนศาสตร์ของการดูดซับสีข้อมและเปรียบเทียบกับแบบจำลองการแพร่ภายในอนุภาคเพื่อเชิงข่ายกล ไกของ การดูดซับสีข้อม พนว่าจลนศาสตร์ของการดูดซับสีข้อมสอดคล้องกับปฏิกิริยาอันดับสองเสมอ การศึกษาอุณหพลศาสตร์ของการดูดซับสีข้อมโดยคำนวนค่าคงที่สมดุลการดูดซับของแลงเมียร์ที่อุณหภูมิแตกต่างกัน พนว่าค่าการเปลี่ยนพลังงานอิสระของกินส์ (ΔG°) เป็นลบที่ทุกอุณหภูมิ ค่าการเปลี่ยนแปลงเอนทาเลปี

(ΔH°) และการเปลี่ยนแปลงเอนโทรปี (ΔS°) เท่ากับ 19.39 กิโลจูลต่อโมล และ 0.1005 กิโลจูลต่อโมลต่อเคลวิน ตามลำดับ แสดงว่าการคุณซับสีข้อมเมทิลออกเรนจ์เป็นกระบวนการแบบคุณพลังงานที่สามารถเกิดขึ้นเองได้

Yao et al. (2010) ศึกษาผลกระทบของอุณหภูมิที่มีผลต่อสมดุลการคุณซับสีข้อม เมทิลีนบลูจากสารละลายโดยใช้ท่อนาในการนับอนแบบผนังหลายชั้นที่เตรียมได้จากวิธีการตกตะ碰ไทโอดีไซค์บอร์นจากแก๊สอะเซทิลีนที่เกิดการแตกออกและอนุภาคนาโนของเหล็กถูกฝังเข้าไปใน mesoporous silica ซึ่งเตรียมได้จากการผสมระหว่างสารละลายไอ์ร์ออนในเตตระเอทอกซิไซเลนในระบบ sol-gel ทำหน้าที่เป็นตัวเร่งปฏิกิริยา สมดุลการคุณซับวิเคราะห์โดยใช้ไอโซเทอร์มของแลงเมียร์และฟรุนคลิช พบว่าไอโซเทอร์มของแลงเมียร์สอดคล้องกับผลการทดลองที่ในอย่างดี จนศาสตร์ของการคุณซับสีข้อมศึกษาโดยเปรียบเทียบกับแบบจำลอง จนศาสตร์ปฏิกิริยาอันดับหนึ่งสมื่อน ปฏิกิริยาอันดับสองสมื่อนและแบบจำลองการแพร่ภายในอนุภาค ผลการศึกษาพบว่าจนศาสตร์ของการคุณซับสีข้อมสอดคล้องกับปฏิกิริยาอันดับสองสมื่อน ผลลัพธ์ของกระบวนการคุณซับ (E_a) ที่คำนวณได้เท่ากับ 18.54 กิโลจูลต่อโมล ค่าการเปลี่ยนแปลงพลังงานอิสระของกิบส์ (ΔG°) การเปลี่ยนแปลงเอนโทรปี (ΔH°) และการเปลี่ยนแปลงเอนโทรปี (ΔS°) ที่สภาวะมาตรฐาน คำนวณโดยใช้ค่าคงที่สมดุลการคุณซับที่ได้จากไอโซเทอร์มของแลงเมียร์ที่อุณหภูมิต่างกัน พบว่า ค่าการเปลี่ยนพลังงานอิสระของกิบส์เป็นลบที่ทุกอุณหภูมิ การเปลี่ยนแปลงเอนโทรปีและการเปลี่ยนแปลงเอนโทรปีมีค่าเท่ากับ 7.29 กิโลจูลต่อโมลและ 64.6 จูลต่อโมลต่อเคลวิน ตามลำดับ แสดงว่าการคุณซับสีข้อมเมทิลีนบลูเป็นกระบวนการแบบคุณพลังงานที่สามารถเกิดขึ้นเองได้

Yao et al. (2010) ศึกษาความเป็นไปได้ของการกำจัดสีข้อมสองชนิด ได้แก่ เมทิลไวโอลีด และเมทิลีนบลูในสารละลายโดยใช้ท่อนาในการนับเป็นตัวคุณซับ ในการทดลองศึกษาความเข้มข้นเริ่นต้นของสีข้อม ปริมาณของท่อนาในการนับนอน พีเอช และระยะเวลาสัมผัสที่มีต่อการคุณซับของสีข้อมบนท่อนาในการนับนอน พบว่า ปริมาณสีข้อมที่คุณซับเพิ่มขึ้น เมื่อปริมาณของท่อนาในการนับนอนเพิ่มขึ้น แต่อย่างไรก็ตามปริมาณหรือความสามารถในการคุณซับที่สมดุลลดลง เมื่อปริมาณของท่อนาในการนับนอนเพิ่มขึ้น ปริมาณการคุณซับสีข้อมแคทไอกอนิก (คล้ายน้ำแล้วมีประจุเป็น

บวก) ทั้งสองชนิดเพิ่มขึ้น เมื่อค่าพีอีชาร์มต้นของสารละลายเพิ่มขึ้นเนื่องจากแรงดึงดูดทางไฟฟ้าระหว่างประจุลบของพื้นผิวตัวคุณซับท่อนาโนคาร์บอนและประจุบวกของสีข้อมแคทไออกอนิก จนศาสตร์ของการควบคุมคุณซับสีข้อมเมทิลไวโอลेटและเมททิลีนบลูนท่อนาโนคาร์บอน สอดคล้องกับแบบจำลองปฏิกริยาอันดับสองสมมุติ โดยมีค่าสัมประสิทธิ์สหสัมพันธ์ (R^2) มากกว่า 0.99 นอกจากนี้สมดุลการคุณซับจากการทดลองสอดคล้องกับแบบจำลองไฮโซเทอร์มของแลงเมียร์ เป็นอย่างดี อาจเนื่องจากการกระจายที่เป็นเนื้อเดียวกันหรือมีลักษณะเหมือนกัน (Homogeneous) ของทุกตำแหน่งที่ว่าองไวนพื้นผิวของตัวคุณซับท่อนาโนคาร์บอน

Zhao et al. (2013) ศึกษาการคุณซับสีข้อมเมทิลออกอเรนเจในสารละลายน้ำท่อนาโน かる์บอนแบบพนังหลาชั้น โดยใช้การกวนแบบแบนทช์ ปัจจัยที่มีผลต่อการคุณซับ ได้แก่ อุณหภูมิ ความเร็วในการกวน ความเข้มข้นเริ่มต้นของสีข้อมและมวลของท่อนาโน かる์บอนแบบพนังหลาชั้น วิเคราะห์ในรายละเอียด ผลการศึกษาพบว่าการคุณซับเพิ่มขึ้น เมื่อความเข้มข้นของสีข้อมเพิ่มขึ้น และ การคุณซับเพิ่มขึ้น เมื่ออุณหภูมิสูงขึ้น นอกจากนี้ การกำจัดสีข้อมเมทิลออกอเรนเจจากสารละลายน้ำเพิ่มขึ้น เมื่อมวลของท่อนาโน かる์บอนแบบพนังหลาชั้นเพิ่มขึ้น จนสามารถรักษาการคุณซับสีข้อม เมทิลออกอเรนเจบนท่อนาโน かる์บอนแบบพนังหลาชั้น สอดคล้องกับแบบจำลองปฏิกิริยาอันดับสอง เสมือนเป็นอย่างดี

Wang et al. (2012) ศึกษาการกำจัดสีข้อมแคทไฮอ่อนิก (เมททิลีนบลู, MB) และสีข้อมแอซิด (acid red 183, AR183) ในสารละลายน้ำที่มีน้ำเป็นตัวทำละลายในระบบที่มีสีข้อมเดียว ๆ และระบบที่มีการผสมกันของสีข้อมทั้งสองชนิด โดยใช้ท่อนาโนคาร์บอนแบบผนังหลาຍชั้นเป็นตัวคุดชับ การพิสูจน์ทราบของท่อนาโนคาร์บอนแบบผนังหลาຍชั้นและระบบท่อนาโนคาร์บอนแบบผนังหลาຍชั้นกับสีข้อมวิเคราะห์ได้เทคนิคต่าง ๆ เช่น FTIR, TG-DTA, zeta potential และ elemental analysis จากการทดลองพบว่าท่อนาโนคาร์บอนแบบผนังหลาຍชั้นสามารถคุดชับสีข้อม MB ได้มากกว่า AR183 ทั้งในระบบสีข้อมเดียวและระบบการผสมของสีข้อมทั้งสองซึ่งแสดงให้เห็นอันตรกิริยาประเภท π - π stacking เป็นแรงขับเคลื่อนที่สำคัญสำหรับอันตรกิริยาระหว่างสีข้อมกับท่อนาโนคาร์บอนแบบผนังหลาຍชั้น ในระบบการศึกษาสีข้อมเดียว ๆ พบว่าปริมาณการคุดชับสูงสุดของ MB และ AR183 มีค่า 59.7 และ 45.2 มิลลิกรัมต่อกรัมตามลำดับ ในระบบการศึกษาการ

ผสมกันของสีข้อม อิทธิพลการเสริมกันอันเนื่องจากแรงดึงดูดทางไฟฟ้า (Electronic attraction) ระหว่างสีข้อม MB และ AR183 เกิดขึ้นที่ความเข้มข้น AR183 ต่ำๆ (10 มิลลิกรัมต่อลิตร) จะช่วยเสริมการดูดซับของสีข้อมทั้งสองชนิดท่อนาโนคาร์บอนแบบผนังหลายชั้น แต่อีก一方 ตามการดูดซับสีข้อม MB ลดลงที่ความเข้มข้น AR183 สูงๆ (มากกว่า 20 มิลลิกรัมต่อลิตร) เนื่องจากแรงดึงดูดทางไฟฟ้าระหว่างท่อนาโนคาร์บอนแบบผนังหลายชั้นกับ AR183 แข็งแรงขึ้น จากการศึกษาจนศาสตร์ของการดูดซับสีข้อมสอดคล้องกับแบบปฎิกริยาอันดับสองส่องเส้นธนทั้งในระบบสีข้อมเดียว ๆ และระบบการผสมกันของสีข้อมทั้งสอง สมดุลของการดูดซับสีข้อมวิเคราะห์โดยใช้แบบจำลองไอโซเทอร์มของแอลเมียร์และฟรุนคิช พบว่าสอดคล้องกับไอโซเทอร์มของแอลเมียร์สำหรับระบบสีข้อมเดียว ๆ ทั้งสองชนิด

Wang, Huang and Zhang (2013) ศึกษาการเตรียม viscose activated carbon fibers (ACFs) โดยวิธีการตกเคลือบสะสารเคมี (CVD) และการพิสูจน์ทราบของ ACFs ใช้เทคนิคต่าง ๆ เช่น พื้นที่ผิวจำพวก SEM, การกระจายของขนาดของโพรงและ FTIR การศึกษาพฤติกรรมของ ACFs ในการดูดซับสีข้อมเมทิลอะอิรอนจ์ในสารละลายทำการทดลองแบบที่ 1 จากผลการศึกษาพบว่าสมดุลการดูดซับสีข้อมสอดคล้องกับแบบปฎิกริยาอันดับสองส่องเส้นธน กระบวนการดูดซับเกี่ยวกับแบบจำลอง การแพร่ภายนอก (Intra-particle diffusion) แต่แบบจำลองดังกล่าวไม่ได้เป็นขั้นกำหนดหรือควบคุมอัตราของจนศาสตร์ของการดูดซับเพียงอย่างเดียว ทราบมิเตอร์ต่าง ๆ ทางอุณหพลศาสตร์ของการดูดซับ ได้แก่ ค่าการเปลี่ยนแปลงพลังงานอิสระของกินส์ (ΔG°) การเปลี่ยนแปลงอ่อนหalte (ΔH°) และการเปลี่ยนแปลงอ่อนโทรปี (ΔS°) ที่คำนวณได้แสดงให้เห็นว่ากระบวนการดูดซับของสีข้อมเมทิลอะอิรอนจ์บน ACFs เป็นแบบคายพลังงานที่สามารถเกิดขึ้นเองได้และเป็นการดูดซับทางกายภาพ จากผลของ FTIR แสดงให้เห็นกลไกการดูดซับสีข้อมเมทิลอะอิรอนจ์บน ACFs ที่สำคัญคือพันธะไฮโดรเจน

Ai et al. (2011) ศึกษาประสิทธิภาพการกำจัดสีข้อมแคทไอกอนิกเมทิลีนบลูจากสารละลายโดย magnetite-loaded multi-walled carbon nanotubes (M-MWCNTs) ซึ่งสังเคราะห์โดยวิธีการ one-pot solvothermal การพิสูจน์ทราบโครงสร้างของ M-MWCNTs ที่สังเคราะห์ใช้เทคนิคหล่ายอย่างเช่น XRD, SEM, FTIR ปัจจัยที่มีผลต่อการดูดซับ ได้แก่ ระยะเวลาสัมผัส ความเข้มข้นเริ่มต้นของสีข้อมและพิ效ศึกษาในรายละเอียด พบว่าการดูดซับสีข้อมเมทิลีนบลู

ขึ้นอยู่กับค่าพีเอช จนนา Scotia ของการดูดซับสีเข้มสอดคล้องกับแบบจำลองปฏิกิริยาอันดับสอง เสมือนและสมดุลการดูดซับสีเข้มสอดคล้องกับแบบจำลองไอโซเทอร์มของแอลเมียร์ โดยมีปริมาณการดูดซับขั้นเดียวสูงสุดเท่ากับ 48.06 มิลลิกรัมต่อกิโลกรัม ข้อมูลของ FTIR แสดงให้เห็นว่ากลไกการดูดซับอาจเป็นไปได้ที่เกิดขึ้นเนื่องจากแรงดึงดูดทางไฟฟ้า (Electrostatic attraction) และอันตรกิริยาประเภท $\pi-\pi$ stacking interactions ที่เกิดขึ้นระหว่างสีเข้มเมทิลีนบลูกับ M-MWCNTs

Li et al. (2013) ศึกษาการเปรียบเทียบวัสดุคาร์บอนสามชนิด ได้แก่ ถ่านกัมมันต์ แกรฟินออกไซด์และท่อนาโนคาร์บอนแบบผนังหลายชั้น โดยวัสดุทั้งสามชนิดถูกออกแบบให้สามารถเคลือบตัวอย่างพื้นผิวของภาชนะและใช้เป็นตัวดูดซับในการกำจัดสารละลายสีเข้ม เมทิลีนบลู การพิสูจน์ทราบของตัวดูดซับใช้เทคนิคต่าง ๆ ได้แก่ ไอโซเทอร์มของการดูดซับและการปลดปล่อยแก๊สในโตรเจน, IR spectroscopy. ขนาดอนุภาคและการวัดค่า zeta potential การทดลองการดูดซับแบบที่กระทำขึ้นเพื่อศึกษาอิทธิพลของพิอิเซของสารละลายและระยะเวลาสัมผัสในการศึกษาสมบัติการดูดซับสีเข้ม การศึกษาพบว่าจันนา Scotia ของการดูดซับสีเข้มสอดคล้องกับแบบจำลองปฏิกิริยาอันดับสอง เสมือนและการวิเคราะห์สมดุลการดูดซับสีเข้ม พนว่าสอดคล้องกับแบบจำลองไอโซเทอร์มของแอลเมียร์ โดยความสามารถในการดูดซับสูงสุดของเมทิลีนบลูบนถ่านกัมมันต์ แกรฟินออกไซด์และท่อนาโนคาร์บอนแบบผนังหลายชั้นเท่ากับ 270.27, 243.90 และ 188.68 มิลลิกรัมต่อกิโลกรัมตามลำดับ ความสามารถในการดูดซับของสีเข้มที่แข็งแรงซึ่งวิเคราะห์โดยการหา BET-surface area ของแกรฟินออกไซด์และท่อนาโนคาร์บอนอาจเป็นผลอันเนื่องมาจากการที่ $\pi-\pi$ electron donor acceptor และแรงดึงดูดทางไฟฟ้าระหว่างระหว่างประจุบวกของสีเข้มและประจุลบของตัวดูดซับ